

第四章 射频电路优化设计(1)

第一节 引言

- 电路分析：根据电路结构与元器件参数计算电路性能指标；
- 电路综合：根据电路结构及性能指标要求，优化设计电路参数；
- 优化设计方法概况：

解析法：通过电路响应解析公式，求极值获参数变量最优值；

搜索法：利用优化目标函数变化规律进行搜索向最优点前进；

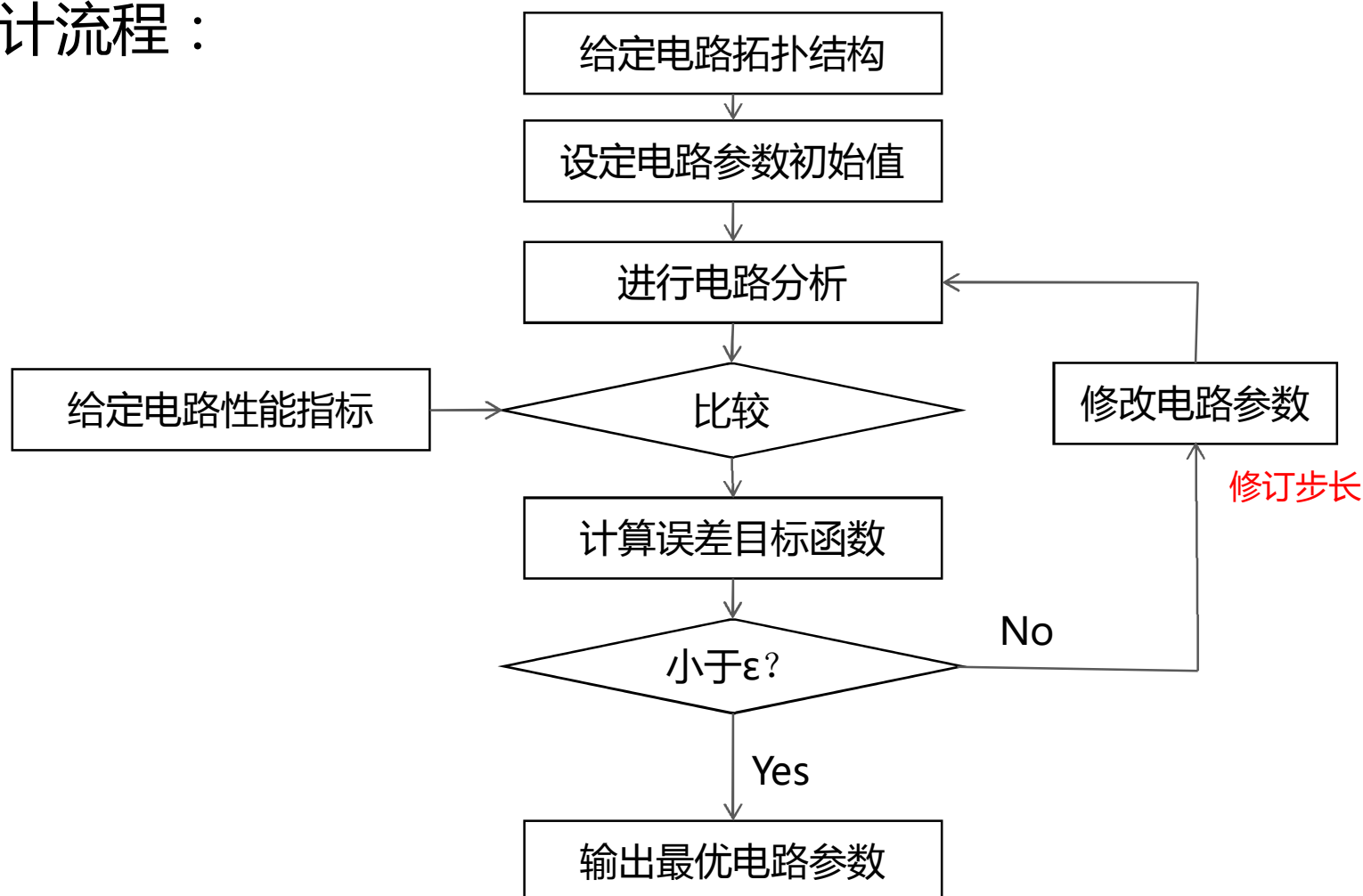
消去法：消去不存在最优点的变量域，缩小寻优范围；

逼近法：对邻近数点进行分析，找出趋向最优点方向，逼近之；

逼近法的代表有：梯度法与直接法；

第四章 射频电路优化设计(2)

- 优化设计流程：



第四章 射频电路优化设计(3)

第二节 目标函数的概念

- 误差函数：电路性能指标与给定性能指标之差与参数之关系；
- 寻找最优电路参数的过程即是让误差函数获得最小值的过程；
- 误差函数取最小值的要求可以转化为某一特性求极值的过程；
- 直接用于优化设计的该求极值特性函数即为目标函数；
- 目标函数的确定由优化设计的方便进行而定；

一. 目标函数表达式

- 设待优化的电路参数矢量为： $\mathbf{x} = (x_1, x_2, \dots, x_n)^T$
- 误差函数的一般表达式为：

第四章 射频电路优化设计(4)

$$E(\mathbf{x}, \omega) = W(\omega) |T(\mathbf{x}, \omega) - T_r(\omega)| \quad (4.1)$$

误差函数 加权系数 特性曲线 指定特性曲线

- 目标函数的构造：

$$\phi(\mathbf{x}) = \left[\sum_{i=1}^m W(\omega_i) |T(\mathbf{x}, \omega_i) - T_r(\omega_i)|^p \right]^{\frac{1}{p}} \quad (4.2)$$

目标函数 频率采样点数 $P=1,2, \dots$ 待优化的指标特性

- 待优化的指标特性可以是：增益，相位，驻波比，噪声系数等；

二. 目标函数的极值

- 展开成台劳级数：

$$\phi(\mathbf{x}) = \phi(\mathbf{x}_0) + \nabla \phi(\mathbf{x}_0)^T \cdot \Delta \mathbf{x} + \frac{1}{2} \Delta \mathbf{x}^T \cdot \mathbf{A} \cdot \Delta \mathbf{x} + \dots \quad (4.3)$$

第四章 射频电路优化设计(5)

$$\text{其中： } \Delta \mathbf{x} = \mathbf{x} - \mathbf{x}_0 = [x_1 - x_{10}, x_2 - x_{20}, \dots, x_n - x_{n0}]^T \quad (4.4)$$

$$\nabla \phi(\mathbf{x}_0) = \left[\frac{\partial \phi}{\partial x_1}, \frac{\partial \phi}{\partial x_2}, \dots, \frac{\partial \phi}{\partial x_n} \right]^T \quad (4.5)$$

$$\mathbf{A} = \begin{bmatrix} \frac{\partial^2 \phi}{\partial x_1 \partial x_1} & \frac{\partial^2 \phi}{\partial x_1 \partial x_2} & \dots & \frac{\partial^2 \phi}{\partial x_1 \partial x_n} \\ \frac{\partial^2 \phi}{\partial x_2 \partial x_1} & \frac{\partial^2 \phi}{\partial x_2 \partial x_2} & \dots & \frac{\partial^2 \phi}{\partial x_2 \partial x_n} \\ \vdots & \vdots & \dots & \vdots \\ \frac{\partial^2 \phi}{\partial x_n \partial x_1} & \frac{\partial^2 \phi}{\partial x_n \partial x_2} & \dots & \frac{\partial^2 \phi}{\partial x_n \partial x_n} \end{bmatrix} \quad (4.6)$$

第四章 射频电路优化设计(6)

目标函数极小点充要条件：

$$\begin{cases} \nabla \phi(\mathbf{x}_0) = 0 \\ \mathbf{A} > 0 \end{cases} \quad \text{二阶偏导数矩阵为正定矩阵} \quad (4.7)$$

三. 目标函数的凸分析

- 目标函数的极值点不一定是作用域内的最大最小点；
- 凸函数定义：对作用域D内的任意两点 $\mathbf{x}_1, \mathbf{x}_2$ ，恒有：

$$\phi[\alpha \mathbf{x}_1 + (1 - \alpha) \mathbf{x}_2] \leq \alpha \phi(\mathbf{x}_1) + (1 - \alpha) \phi(\mathbf{x}_2) \quad (4.8)$$

- 凸函数在作用域D内的极小值就是D内的最小值；
- 若在D内 $\phi(\mathbf{x})$ 有连续的二阶偏导数，且处处满足： $\mathbf{x}^T \mathbf{A} \mathbf{x} > 0$ 则为凸函数

第四章 射频电路优化设计(7)

第三节 最小二乘法与曲线拟合

- 工程技术中实验与测量中经常用最小二乘法进行数据处理；
- 用多组离散实验或测量数据获得特性近似公式过程叫曲线拟合；

一. 最小二乘问题的提出

- 研究一下线性方程组的求解：

$$a_{11}x_1 + a_{12}x_2 + \cdots + a_{1n}x_n = b_1$$

$$a_{21}x_1 + a_{22}x_2 + \cdots + a_{2n}x_n = b_2$$

.....

$$a_{m1}x_1 + a_{m2}x_2 + \cdots + a_{mn}x_n = b_m$$

$$m = n$$

为适定方程，有唯一解

$$m > n$$

为超定(矛盾)方程，无解

$$m < n$$

为亚定方程，有无穷多解

(4.9)

第四章 射频电路优化设计(8)

- 针对矛盾方程组情况，寻求一个近似解，使得：

$$\mathbf{Ax} = \mathbf{B} \Rightarrow \left\| \underset{\text{近似解}}{\mathbf{A}\tilde{\mathbf{x}}} - \mathbf{B} \right\|_{\text{欧氏空间范数}} = \underset{\text{最小}}{\min} \quad (4.10)$$

- $\tilde{\mathbf{x}}$ 就称为最小二乘解，最小二乘法就是找出范数最小值解的方法；
- 最小二乘解存在的充要条件：

$$\mathbf{A}^T (\mathbf{A}\tilde{\mathbf{x}} - \mathbf{B}) = 0 \quad (4.11)$$

- 最小二乘解表达式为：

$$\underset{n}{\tilde{\mathbf{x}}} = (\underset{n \times n}{\mathbf{A}\mathbf{A}^T})^{-1} \underset{n \times m}{\mathbf{A}^T} \underset{m}{\mathbf{B}} \quad (4.12)$$

第四章 射频电路优化设计(9)

二. 多项式拟合法

- 当某对象与参数关系之解析式未知，可用多项式近似表示，如：

$$y = a_0 + a_1x + a_2x^2 \quad (4.13)$$

- 测试了m组数据，求拟合多项式系数 a_i ：

$$\begin{aligned} y_1 &= a_0 + a_1x_1 + a_2x_1^2 \\ y_2 &= a_0 + a_1x_2 + a_2x_2^2 \\ &\dots\dots \\ y_m &= a_0 + a_1x_m + a_2x_m^2 \end{aligned} \Rightarrow \begin{matrix} \mathbf{A} & \mathbf{x} & \mathbf{B} \\ \begin{bmatrix} 1 & x_1 & x_1^2 \\ 1 & x_2 & x_2^2 \\ \vdots & \vdots & \vdots \\ 1 & x_m & x_m^2 \end{bmatrix} & \begin{bmatrix} a_0 \\ a_1 \\ a_2 \end{bmatrix} & = \begin{bmatrix} y_1 \\ y_2 \\ \vdots \\ y_m \end{bmatrix} \end{matrix} \quad (4.14)$$

代入(4.12)式即可解出系数；

第四章 射频电路优化设计(10)

三. 正交多项式拟合法

$$y = \phi(x) = a_0 p_0(x) + a_1 p_1(x) + a_2 p_2(x) + \dots + a_n p_n(x) \quad (4.15)$$

- 正交多项式定义：
$$\sum_{k=1}^m p_i(x_k) p_j(x_k) = 0 \quad i \neq j \quad (4.16)$$

- 拟合多项式函数 $\phi(x)$ 的目标是使以下均方差最小：

$$\sigma_m^2 = \sum_{k=1}^m W_k [\phi(x_k) - y_k]^2 = \min \quad (4.17)$$

第四章 射频电路优化设计(11)

- 经推导，得拟合多项式系数为：

$$a_j = \frac{\sum_{i=1}^m W_i y_i p_j(x_i)}{\sum_{i=1}^m W_i p_j^2(x_i)} \quad j = 0, 1, 2, \dots, n \quad (4.18)$$

- $p_i(x)$ 的选择，如下是常用的一种递推多项式：

$$\begin{aligned} p_0(x) &= 1 \\ p_1(x) &= (x - \alpha_1) p_0(x) \\ &\dots\dots \\ p_{j+1}(x) &= (x - \alpha_{j+1}) p_j(x) - \beta_j p_{j-1}(x) \quad j = 1, 2, \dots, n-1 \end{aligned} \quad (4.19)$$

第四章 射频电路优化设计(12)

其中：

$$\alpha_{j+1} = \frac{\sum_{i=1}^m W_i x_i p_j^2(x_i)}{\sum_{i=1}^m W_i p_j^2(x_i)}$$
$$\beta_j = \frac{\sum_{i=1}^m W_i p_j^2(x_i)}{\sum_{i=1}^m W_i p_{j-1}^2(x_i)} \quad (4.20)$$

- 对于非线性二乘法思路基本类同。

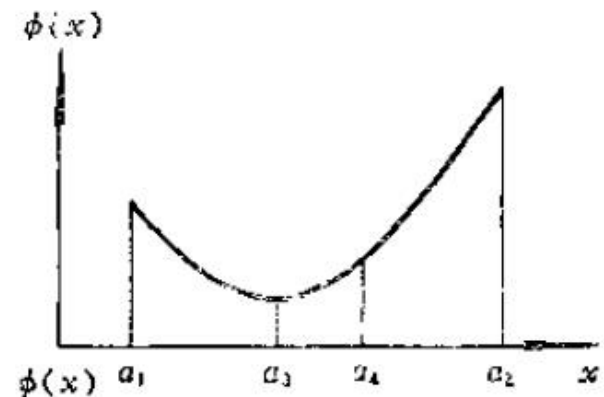
第四章 射频电路优化设计(13)

第四节 单元函数优化

- 单元函数优化是多元函数优化的基础；

一. 菲波纳西法和黄金分割法

- 它们都属于消去法；
- 设目标函数为 $\Phi(x)$ ，求在范围 $[a_1, a_2]$ 内 $|\Phi(x)|$ 最小值及所在点 x_0 ；
- 优化运算过程：
 - a) 域内选取两点 a_3, a_4 ，计算对应函数值；
 - b) 对所得函数值 $\Phi(x_3)$ ， $\Phi(x_4)$ 进行比较，得到下一步搜索范围；



第四章 射频电路优化设计(14)

若 $\Phi(x_3) < \Phi(x_4)$ ，则极小值点位于 (x_1, x_4) 内；

若 $\Phi(x_3) > \Phi(x_4)$ ，则极小值点位于 (x_3, x_2) 内；

c) 在缩小后的搜索区间在进行巡查，直至找到极小值点(或近似点)；

1. 菲波纳西法

- 利用菲波纳西数列规律与特点选择搜索区间的中间计算点；

菲波那西序数																		
序数	n	0	1	2	3	4	5	6	7	8	9	10	11	12	13	14	15	16 ...
	F_n	1	1	2	3	5	8	13	21	34	55	89	144	233	377	610	987	1597 ...

菲波纳西数

第四章 射频电路优化设计(15)

- 第一次选择的两个中间计算点为：

$$\begin{aligned} a_4 &= a_1 + \frac{F_{n-1}}{F_n} (a_2 - a_1) && \text{n-1为预计要寻查的次数} \\ a_3 &= a_2 + \frac{F_{n-1}}{F_n} (a_1 - a_2) && \text{例：n-1=10为预计10次} \\ &&& F_{n-1}=F_{10}=89 \end{aligned} \quad (4.21)$$

- 第一次区间缩短率为： $\eta_1 = F_{n-1} / F_n$ 第二次缩短率为： $\eta_2 = F_{n-2} / F_{n-1}$

第n-1次缩短率为： $\eta_{n-1} = F_{n-(n-1)} / F_{n-(n-2)} = 1 / F_2$

$$\text{总缩短率为：} \quad \eta_0 = \eta_1 \eta_2 \cdots \eta_{n-1} = \frac{F_{n-1}}{F_n} \cdot \frac{F_{n-2}}{F_{n-1}} \cdots \frac{1}{F_2} = \frac{1}{F_n} \quad (4.22)$$

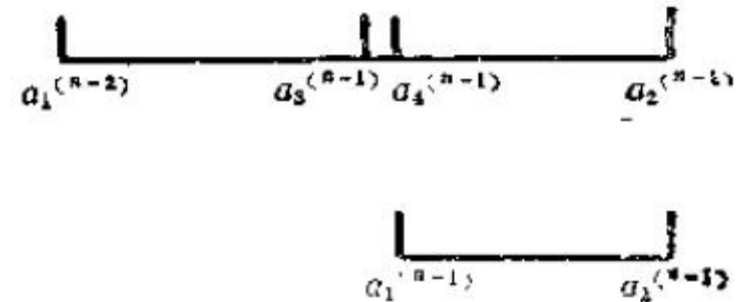
若寻查精度为0.001，则： $\eta_0 \approx 0.001 \Rightarrow F_n = 987 \Rightarrow n = 15$

第四章 射频电路优化设计(16)

2. 黄金分割法

- 第一次选择的两个中间计算点为：

$$\begin{aligned} a_3 &= a_2 - \eta(a_2 - a_1) \\ a_4 &= a_1 + \eta(a_2 - a_1) \end{aligned} \quad \begin{array}{l} \eta \text{ 为黄金分割率, } \eta = 0.618 \\ (4.23) \end{array}$$



若寻查 $n-1$ 次，则总缩短率为： $\eta_0 = \eta^{n-1}$

3. 变量范围与寻查次数的确定

- 一般有实际问题的物理意义确定；
- 例如：由微带线特性阻抗 Z_c 计算其宽度 W ，考虑 Z_c 太高，线太窄，不易制作， Z_c 太低，线太宽，易产生横向高次模；所以 Z_c 范围选择在 $(10-150)\Omega$ 。 Z_c 误差为 0.5Ω ，则允许的相对误差为：

第四章 射频电路优化设计(17)

$$\delta = \frac{\varepsilon}{a_2 - a_1} = \frac{0.5}{150 - 10} = 7.14 \times 10^{-4}$$

寻查次数n的确定： $\delta = (0.618)^{n-1} \Rightarrow n = 16.05$ 取整数： $n = 17$

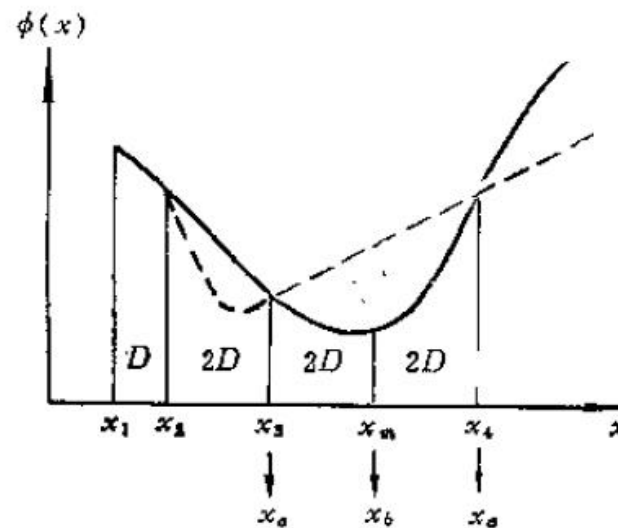
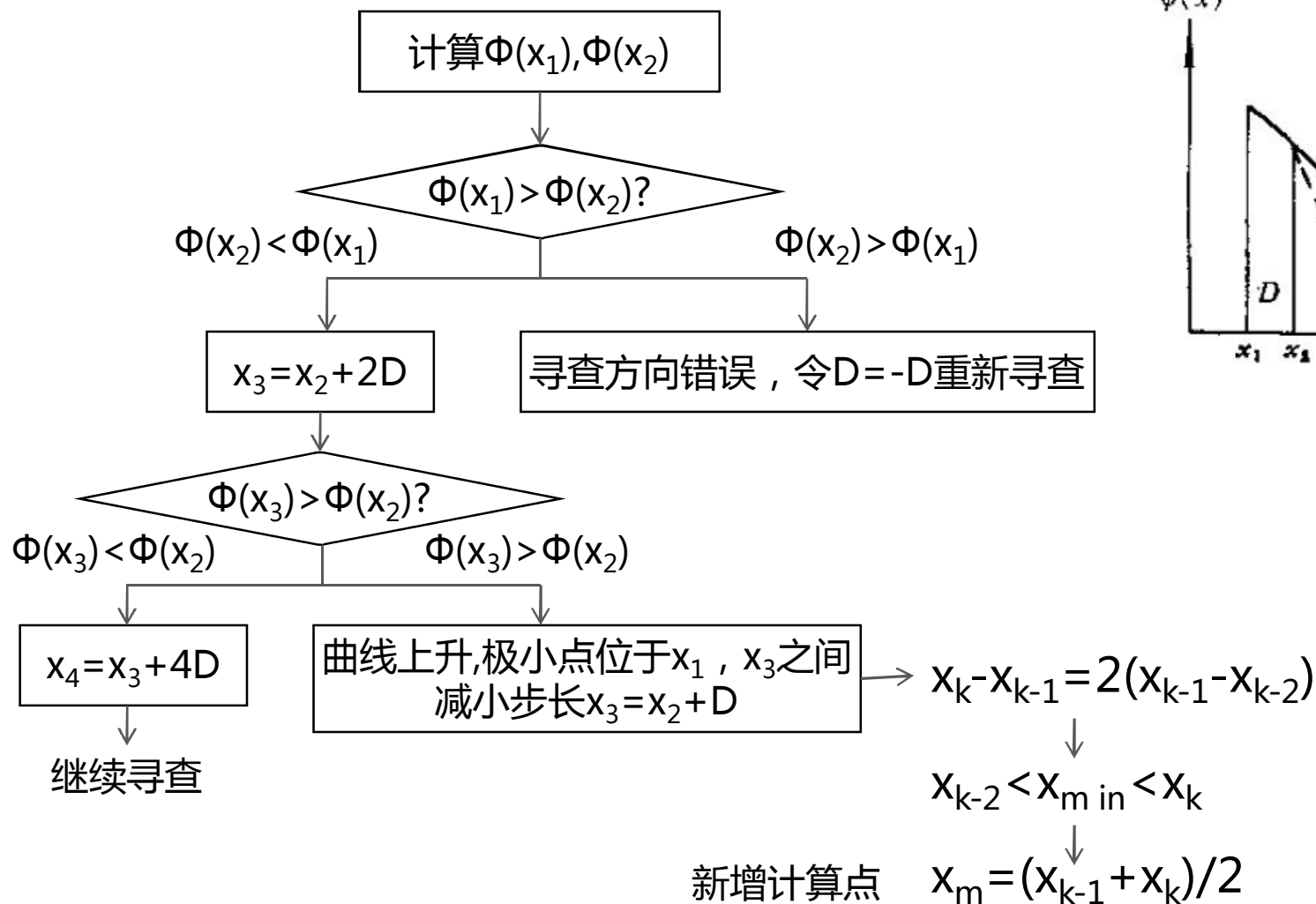
二. 外推内插法

- 上面的方法需要知道寻查范围，但实际情况中往往不知道；
- 用外推法找出合适的寻查范围，再用上面的方法寻优计算；

1. 外推法

- 设一维函数 $F = \Phi(x)$ ，研究其极值点求解；
- 任选一初值点 x_1 ，在寻查方向取步长D处点 $x_2 = x_1 + D$ ；
- 计算两点处函数值 $\Phi(x_1), \Phi(x_2)$ ，比较之；

第四章 射频电路优化设计(18)



第四章 射频电路优化设计(19)

2. 二次插值法

- 在极小点所在区域取三个点，并计算相应函数值；
- 用此三点做一拟合抛物曲线，用抛物线极小点近似函数极小点；

- 抛物线方程： $p(x) = k_0 + k_1x + k_2x^2$

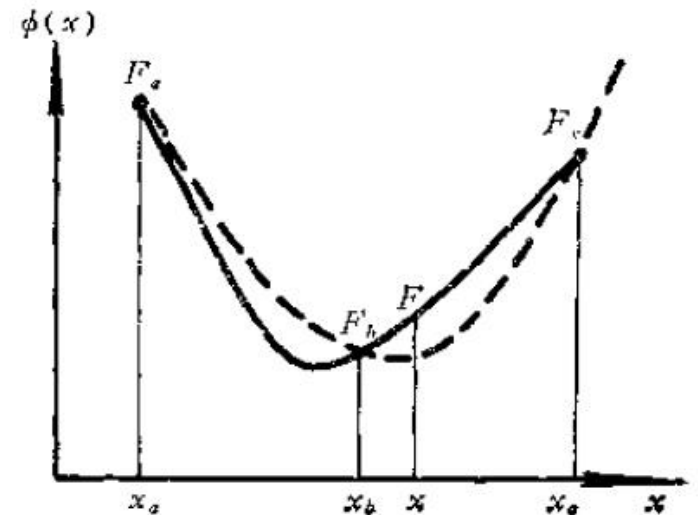
$$p(x_a) = \phi(x_a) = F_a = k_0 + k_1x_a + k_2x_a^2$$

$$p(x_b) = \phi(x_b) = F_b = k_0 + k_1x_b + k_2x_b^2 \quad (4.24)$$

$$p(x_c) = \phi(x_c) = F_c = k_0 + k_1x_c + k_2x_c^2$$

- 求导，令为零：

$$p'(x) = k_1 + 2k_2x = 0 \quad (4.25)$$



第四章 射频电路优化设计(20)

- 解上联立方程组及求导式：

$$\begin{aligned}x_* &= -\frac{k_1}{2k_2} \\k_1 &= \frac{F_a(x_b^2 - x_c^2) + F_b(x_c^2 - x_a^2) + F_c(x_a^2 - x_b^2)}{(x_a - x_b)(x_b - x_c)(x_c - x_a)} \\k_2 &= -\frac{F_a(x_b - x_c) + F_b(x_c - x_a) + F_c(x_a - x_b)}{(x_a - x_b)(x_b - x_c)(x_c - x_a)}\end{aligned}\tag{4.26}$$

- 结果化简： $x_* = A/(2B)$

$$\begin{aligned}A &= F_a(x_b^2 - x_c^2) + F_b(x_c^2 - x_a^2) + F_c(x_a^2 - x_b^2) \\B &= F_a(x_b - x_c) + F_b(x_c - x_a) + F_c(x_a - x_b)\end{aligned}\tag{4.27}$$

第四章 射频电路优化设计(21)

- 在以上四个点中，舍去函数值大的边点，剩下的三个点继续插值；
- 直到剩下的三个点函数值相近到允许的范围，寻查结束；
- 三次插值法原理类同，使用的拟合曲线方程为三次多项式；

第四章 射频电路优化设计(22)

第五节 多元函数优化之梯度法

- 大致有两大类：梯度法和直接比较法；
- 梯度法：沿函数曲线法线(梯度) 的反方向(下降最快方向)寻查；
代表：最速下降法，牛顿法，共轭梯度法，变尺度法等；
- 直接比较法：选几个变量点，比较函数值，找出下降方向寻查；
代表：变量交替法，单纯形法，鲍威尔法等； 无需计算梯度

一. 最速下降法

- 它属于梯度法中最基本的一种；
- 给定目标函数 $\Phi(\mathbf{x})$ ， \mathbf{x} 是 n 维矢量， $\Phi(\mathbf{x})$ 在 \mathbf{x}_k 处的梯度 \mathbf{g}_k 为：

第四章 射频电路优化设计(23)

$$\mathbf{g}_k = \nabla \phi(\mathbf{x}_k) = \left[\frac{\partial \phi(\mathbf{x})}{\partial x_1}, \frac{\partial \phi(\mathbf{x})}{\partial x_2}, \dots, \frac{\partial \phi(\mathbf{x})}{\partial x_n} \right]_{\mathbf{x}=\mathbf{x}_k}^T \quad (4.28)$$

- 寻查方向 \mathbf{p}_k 为梯度 \mathbf{g}_k 的反方向：

$$\mathbf{p}_k = -\nabla \phi(\mathbf{x}_k) \quad (4.29)$$

- 在寻查方向作步长寻点：

$$\mathbf{x}_{k+1} = \mathbf{x}_k + t\mathbf{p}_k \Rightarrow \phi(\mathbf{x}_k + t\mathbf{p}_k) = \min \quad (4.30)$$

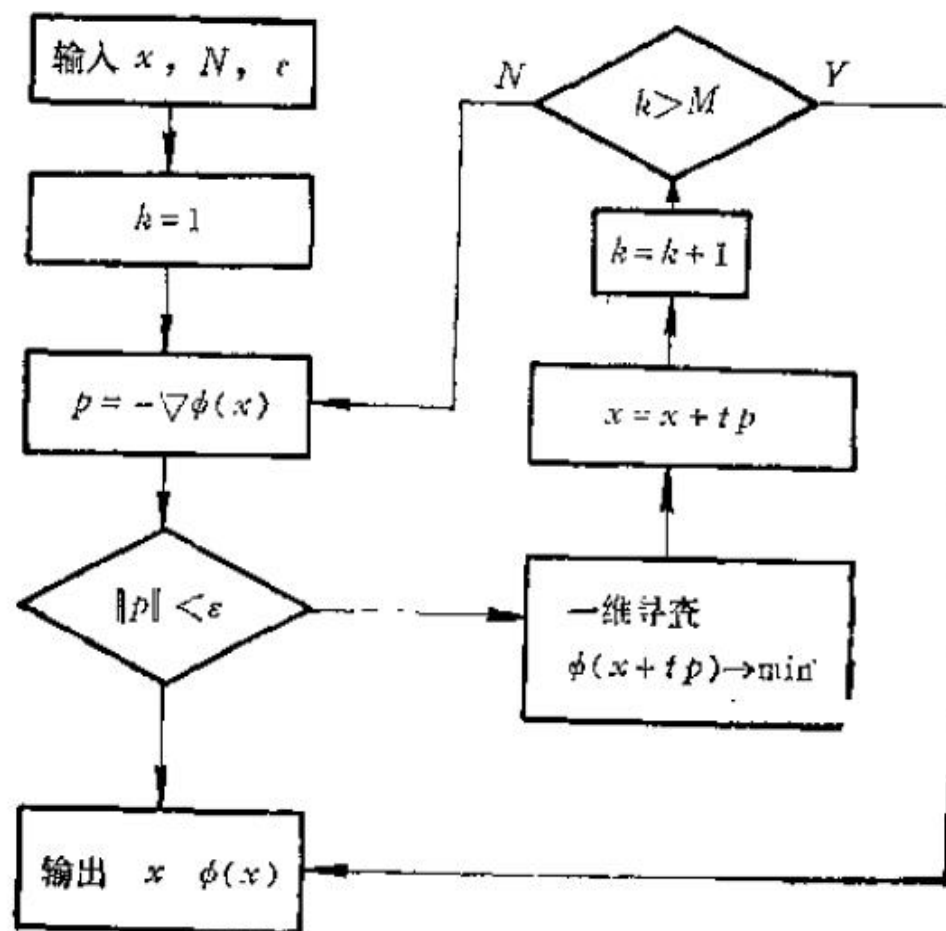
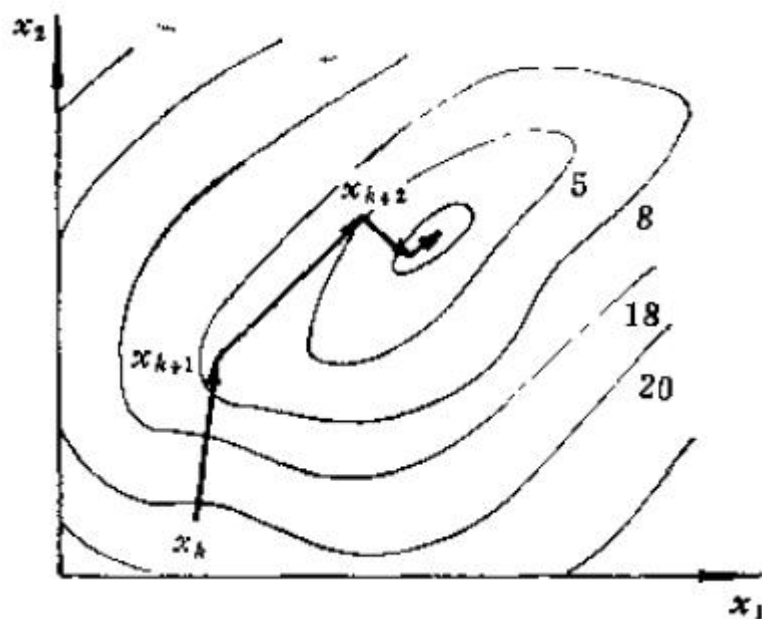
优化步长因子

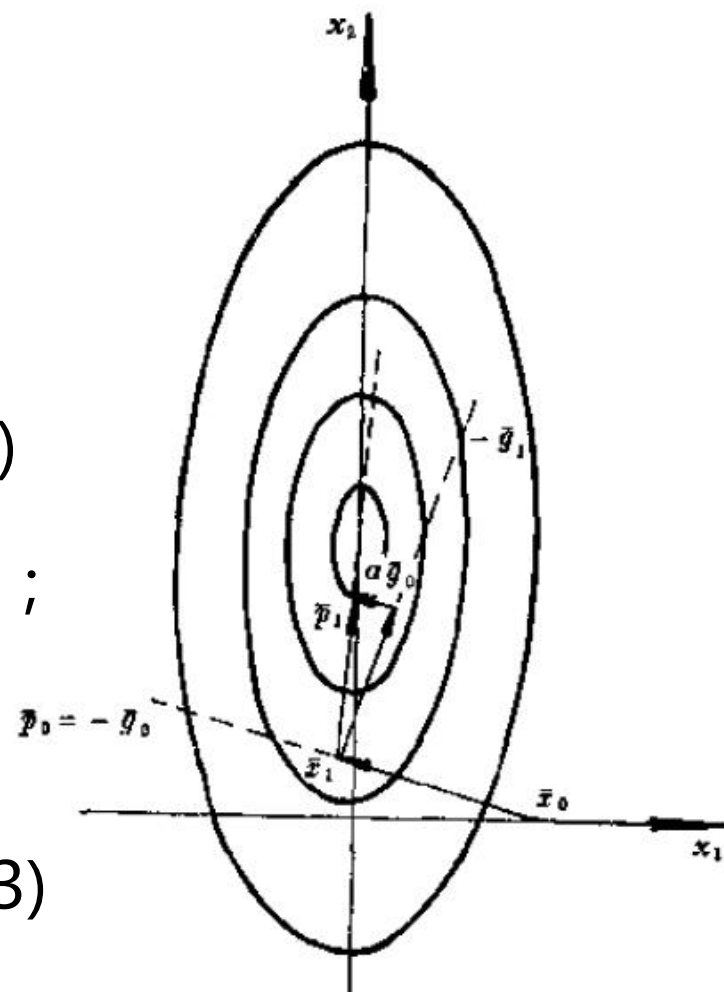
- 判断寻查误差：

$$|\nabla \phi(\mathbf{x}_{k+1})| < \varepsilon \quad \xRightarrow{\text{不满足}} \quad \mathbf{p}_{k+1} = -\nabla \phi(\mathbf{x}_{k+1}) \quad \text{继续寻查} \quad (4.31)$$

第四章 射频电路优化设计(24)

- 最速下降法图示及流程：





第四章 射频电路优化设计(26)

- 第二次寻查方向与第一次满足： $\mathbf{p}_1^T \mathbf{A}_1 \mathbf{p}_0 = 0$ 则互为共轭梯度方向
- 简化公式避免求解二次偏导矩阵：

$$\mathbf{p}_1 = -\mathbf{g}_1 + \frac{\|\mathbf{g}_1\|^2}{\|\mathbf{g}_0\|^2} \mathbf{p}_0 \Rightarrow \mathbf{p}_{k+1} = -\mathbf{g}_k + \frac{\|\mathbf{g}_{k+1}\|^2}{\|\mathbf{g}_k\|^2} \mathbf{p}_k \quad (4.34)$$

三. 牛顿-瑞夫森法

- 牛顿-瑞夫森法是用最少寻查次数找到极小点的方法(一次)；
- 展开台劳级数：

$$\phi(\mathbf{x}) = \phi(\mathbf{x}_k) + \mathbf{g}_k^T \Delta \mathbf{x} + \frac{1}{2} \Delta \mathbf{x}^T \mathbf{A}_k \Delta \mathbf{x} \quad (4.35)$$

第四章 射频电路优化设计(27)

- 设 \mathbf{x}_m 是极小点，有：

$$\nabla \phi(\mathbf{x}_m) = \mathbf{g}_k + \mathbf{A}_k \Delta \mathbf{x} = 0 \quad (4.36)$$

- 由此：

$$\mathbf{A}_k \Delta \mathbf{x} = -\mathbf{g}_k \Rightarrow \mathbf{A}_k (\mathbf{x}_m - \mathbf{x}_k) = -\mathbf{g}_k \Rightarrow \mathbf{x}_m = \mathbf{x}_k - \mathbf{A}_k^{-1} \mathbf{g}_k \quad (4.37)$$

- 上面是 $\Phi(\mathbf{x})$ 为二次时是严格的，当 $\Phi(\mathbf{x})$ 为任意高次函数时：

寻查反方向称为牛顿方向 $\mathbf{p}_k = -\mathbf{A}_k^{-1} \mathbf{g}_k \Rightarrow \mathbf{x}_{k+1} = \mathbf{x}_k - t_k \mathbf{p}_k \quad (4.38)$

四. 变尺度法

- 为了避免计算汉森矩阵，用一个一阶偏导方向矩阵 \mathbf{H}_i 近似 \mathbf{A}^{-1} ：
- 不同的 \mathbf{H}_i 构成不同的变尺度法；

第四章 射频电路优化设计(28)

1. DFP变尺度法

- 分别在 \mathbf{x}_i 和 \mathbf{x}_{i+1} 处展开成台劳级数：

$$\nabla \phi(\mathbf{x}) = \mathbf{g}_i + \mathbf{A}_i(\mathbf{x} - \mathbf{x}_i) \quad (4.39)$$

$$\nabla \phi(\mathbf{x}) = \mathbf{g}_{i+1} + \mathbf{A}_{i+1}(\mathbf{x} - \mathbf{x}_{i+1}) \quad (4.40)$$

- 根据台劳级数展开的唯一性，上两式相等，有：

$$\mathbf{g}_{i+1} + \mathbf{A}_{i+1}(\mathbf{x} - \mathbf{x}_{i+1}) = \mathbf{g}_i + \mathbf{A}_i(\mathbf{x} - \mathbf{x}_i) \quad (4.41)$$

- 假设 $\Phi(\mathbf{x})$ 为二次时： $\mathbf{A}_{i+1} = \mathbf{A}_i = \mathbf{A}$

$$\mathbf{A}^{-1}(\mathbf{g}_{i+1} - \mathbf{g}_i) = \mathbf{x}_{i+1} - \mathbf{x}_i \Rightarrow \mathbf{A}^{-1}\mathbf{y}_i = \mathbf{s}_i \quad \begin{array}{l} \text{变量位移} \\ \text{梯度差} \end{array} \quad (4.42)$$

第四章 射频电路优化设计(29)

- 找一个方向矩阵 \mathbf{H}_{i+1} 近似 \mathbf{A}^{-1} ：，假设 \mathbf{H}_i 已知，求 \mathbf{H}_{i+1} ：

$$\mathbf{A}^{-1} \mathbf{y}_i = \mathbf{s}_i \Rightarrow \mathbf{H}_{i+1} \mathbf{y}_i = \mathbf{s}_i \quad (4.43)$$

- 设校正矩阵为 \mathbf{E}_i ，即 $\mathbf{H}_{i+1} = \mathbf{H}_i + \mathbf{E}_i$ ：

$$(\mathbf{H}_i + \mathbf{E}_i) \mathbf{y}_i = \mathbf{s}_i \Rightarrow \mathbf{E}_i \mathbf{y}_i = \mathbf{s}_i - \mathbf{H}_i \mathbf{y}_i \quad (4.44)$$

- 据此认为 \mathbf{E}_i 应有一下形式：

$$\mathbf{E}_i = \mathbf{s}_i \mathbf{q}_i^T - \mathbf{H}_i \mathbf{y}_i \mathbf{w}_i^T \quad (4.45)$$

待求向量

- 两边同乘以 \mathbf{y}_i ，有： $\mathbf{E}_i \mathbf{y}_i = \mathbf{s}_i \mathbf{q}_i^T \mathbf{y}_i - \mathbf{H}_i \mathbf{y}_i \mathbf{w}_i^T \mathbf{y}_i$ (4.46)

- 选择 \mathbf{q}_i ， \mathbf{w}_i ，使： $\mathbf{q}_i^T \mathbf{y}_i = \mathbf{w}_i^T \mathbf{y}_i = 1$ 此时：(4.46)与(4.44)完全相同 (4.47)

第四章 射频电路优化设计(30)

• 选择 \mathbf{q}_i , \mathbf{w}_i 具有以下形式： $\mathbf{q}_i = \lambda_i \mathbf{s}_i$ → 待定常数 (4.48)
 $\mathbf{w}_i = \mu_i \mathbf{H}_i \mathbf{y}_i$

• 代入式(4.47)： $\lambda_i \mathbf{s}_i^T \mathbf{y}_i = \mu_i \mathbf{y}_i^T \mathbf{H}_i^T \mathbf{y}_i = 1$ (4.49)

• 得： $\lambda_i = \frac{1}{\mathbf{s}_i^T \mathbf{y}_i}$ (4.50)
 $\mu_i = \frac{1}{\mathbf{y}_i^T \mathbf{H}_i^T \mathbf{y}_i}$

• 代入式(4.45)： $\mathbf{E}_i = \frac{\mathbf{s}_i \mathbf{s}_i^T}{\mathbf{s}_i^T \mathbf{y}_i} - \frac{\mathbf{H}_i \mathbf{y}_i \mathbf{y}_i^T \mathbf{H}_i^T}{\mathbf{y}_i^T \mathbf{H}_i^T \mathbf{y}_i}$ (4.51)

第四章 射频电路优化设计(31)

- 最后得：
$$\mathbf{H}_{i+1} = \mathbf{H}_i + \frac{\mathbf{s}_i \mathbf{s}_i^T}{\mathbf{s}_i^T \mathbf{y}_i} - \frac{\mathbf{H}_i \mathbf{y}_i \mathbf{y}_i^T \mathbf{H}_i^T}{\mathbf{y}_i^T \mathbf{H}_i^T \mathbf{y}_i} \quad (4.52)$$

无需求二阶偏导数矩阵及其逆，此时第一次寻查仍用最速下降法；

2. BFGS变尺度法

- 当函数维数较大时，DFP方法不稳定，BFGS是其改进方法；
- 第一次寻查仍用最速下降法：

$$\begin{aligned} \mathbf{H}_0 &= \mathbf{I} \quad \text{where } \mathbf{I} \text{ is unit matrix} \\ \mathbf{p}_0 &= -\mathbf{H}_0 \mathbf{g}_0 \quad \text{where } \mathbf{g}_0 = \nabla \phi(\mathbf{x}_0) \end{aligned} \quad (4.53)$$

- 以后寻查用BFGS变尺度公式：

第四章 射频电路优化设计(32)

$$\mathbf{H}_{i+1} = \mathbf{H}_i + \frac{\mu_i \mathbf{s}_i \mathbf{s}_i^T - \mathbf{H}_i \mathbf{y}_i \mathbf{s}_i^T - \mathbf{s}_i \mathbf{y}_i^T \mathbf{H}_i}{\mathbf{s}_i^T \mathbf{y}_i} \quad (4.54)$$

其中：

$$\mu_i = 1 + \frac{\mathbf{y}_i^T \mathbf{H}_i \mathbf{y}_i}{\mathbf{s}_i^T \mathbf{y}_i} \quad (4.55)$$

第*i*次寻查方向： $\mathbf{p}_{i+1} = -\mathbf{H}_{i+1} \mathbf{g}_{i+1}$ (4.56)

• 寻优收敛判断可取以下条件之一：

$$\|\mathbf{g}_i\| \leq \varepsilon_1 \quad \|\mathbf{s}_i\| \leq \varepsilon_2 \quad \frac{|\phi(\mathbf{x}_{i+1}) - \phi(\mathbf{x}_i)|}{|\phi(\mathbf{x}_i)|} \leq \varepsilon_3 \quad |\phi(\mathbf{x}_i)| \leq \varepsilon_4 \quad (4.57)$$

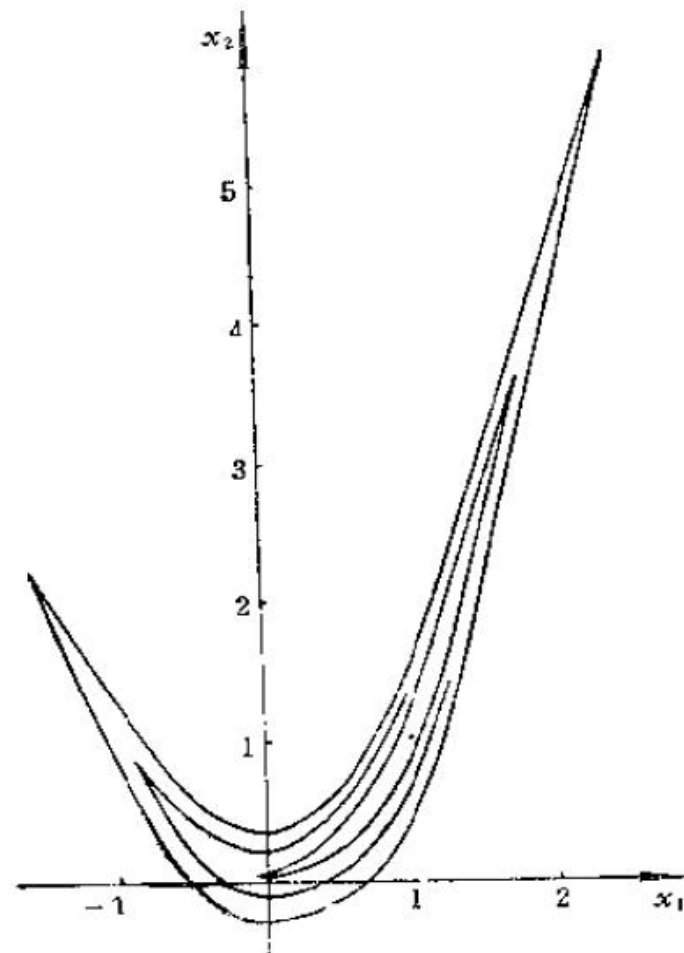
第四章 射频电路优化设计(33)

五. 几种方法的比较

- 各有自己的优缺点及适用情况；
- 通常用同一个目标函数做校验；
- 常用的有罗森布鲁克香蕉函数：

$$\phi(\mathbf{x}) = 100(x_2 - x_1^2)^2 + (1 - x_1)^2 \quad (4.58)$$

其极小点在： $x_1 = 1, x_2 = 1, \phi(\mathbf{x}_{\min}) = 0$



罗森布鲁克函数等值线图

第四章 射频电路优化设计(34)

第六节 多元函数优化之直接法

- 梯度法由于需要计算梯度，在目标函数比较复杂时难于应用；
- 直接法可以避免计算梯度，只需在几个点计算函数值做比较；

一. 单纯形法

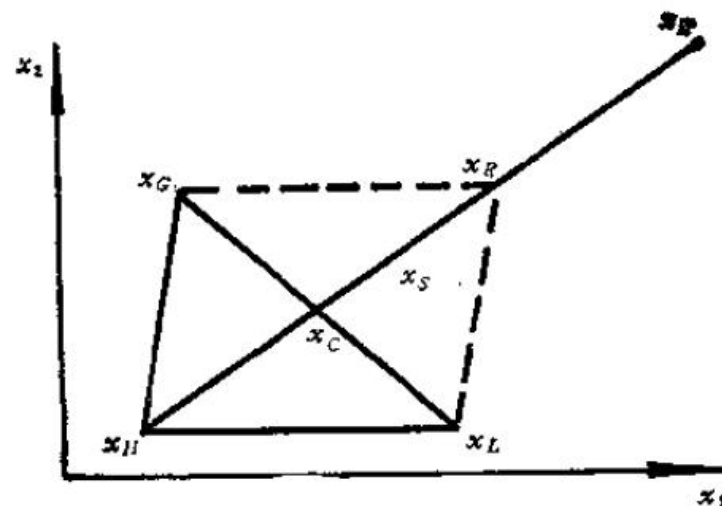
- 单纯性：由直线构成的最简单图形；
- 二维空间：三角形；三维空间：四面体形；N维空间：N+1顶点图形；
- 以二元函数 $\Phi(\mathbf{x})$ 为例，任意选三个点 \mathbf{x}_H ， \mathbf{x}_G ， \mathbf{x}_L 构造三角形；
- 这里 $\Phi(\mathbf{x}_H) > \Phi(\mathbf{x}_G) > \Phi(\mathbf{x}_L)$ ，设 \mathbf{x}_C 为 \mathbf{x}_G ， \mathbf{x}_L 的中点；

第四章 射频电路优化设计(35)

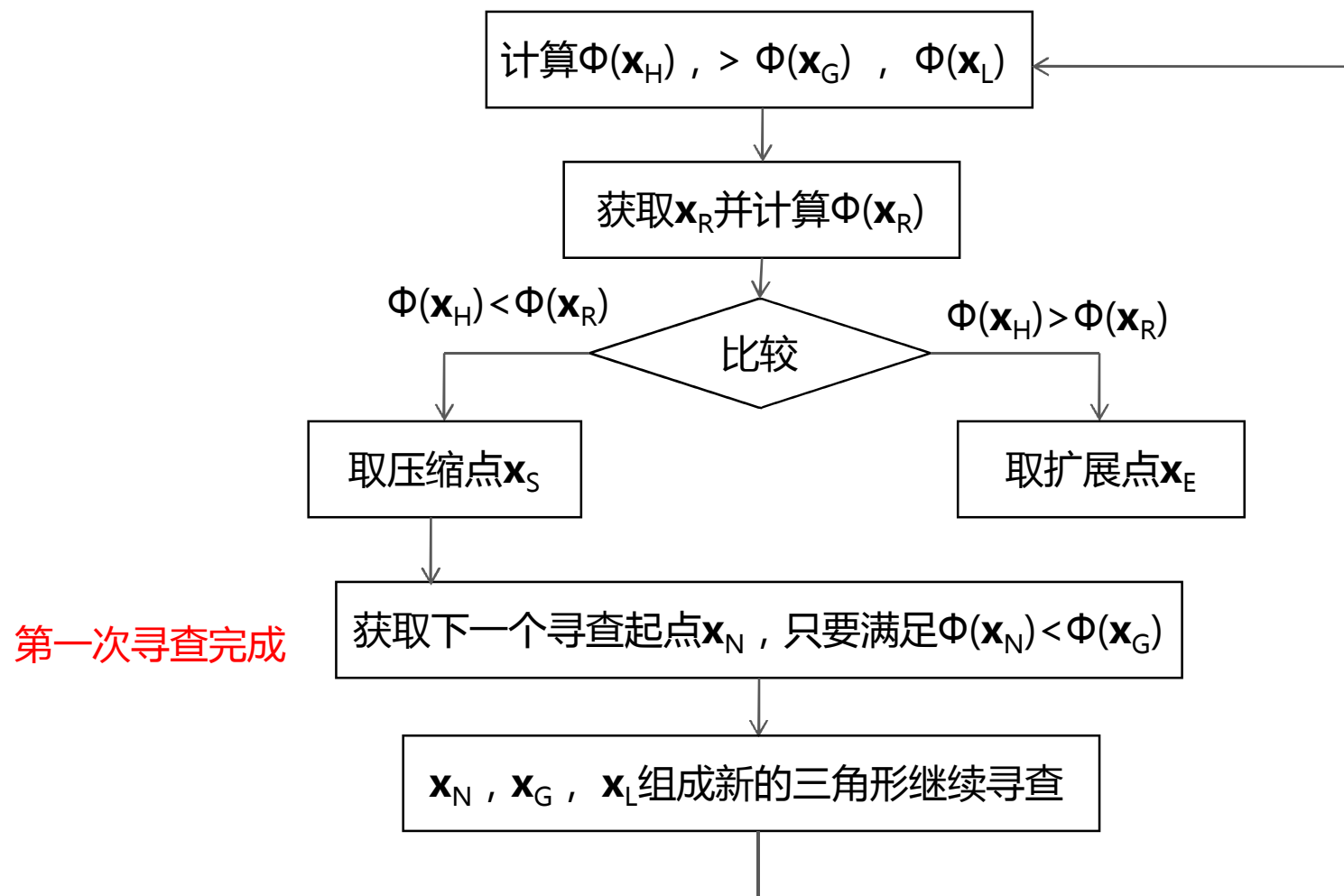
- \mathbf{x}_H 指向 \mathbf{x}_C 为寻查方向；如图所示；
- 在此方向选定反射点 \mathbf{x}_R ，满足：

$$\overline{\mathbf{x}_H \mathbf{x}_R} = 2\overline{\mathbf{x}_H \mathbf{x}_C} \quad \text{两点距离符号} \quad (4.59)$$

- 寻查流程图如下所示：
- 具体实现编程参考资料：



第四章 射频电路优化设计(36)



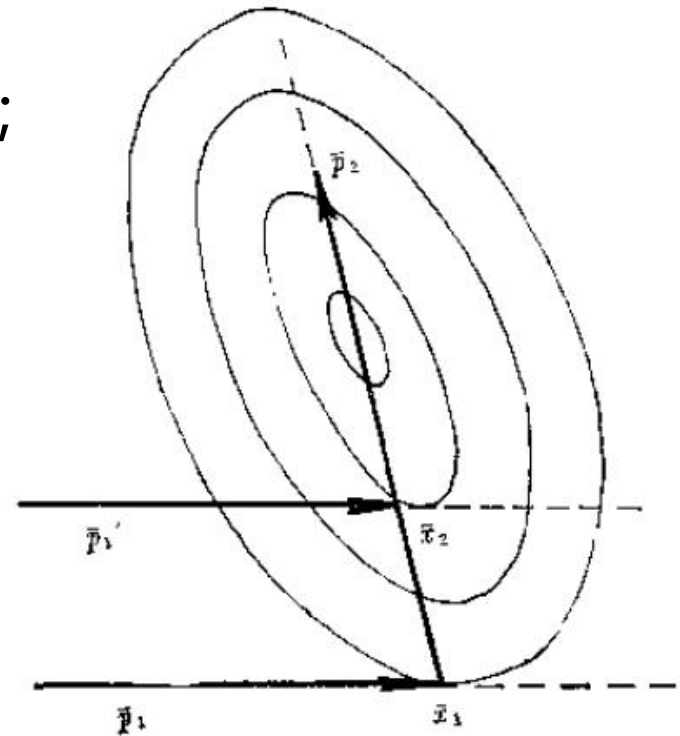
第四章 射频电路优化设计(37)

二. 鲍威尔法

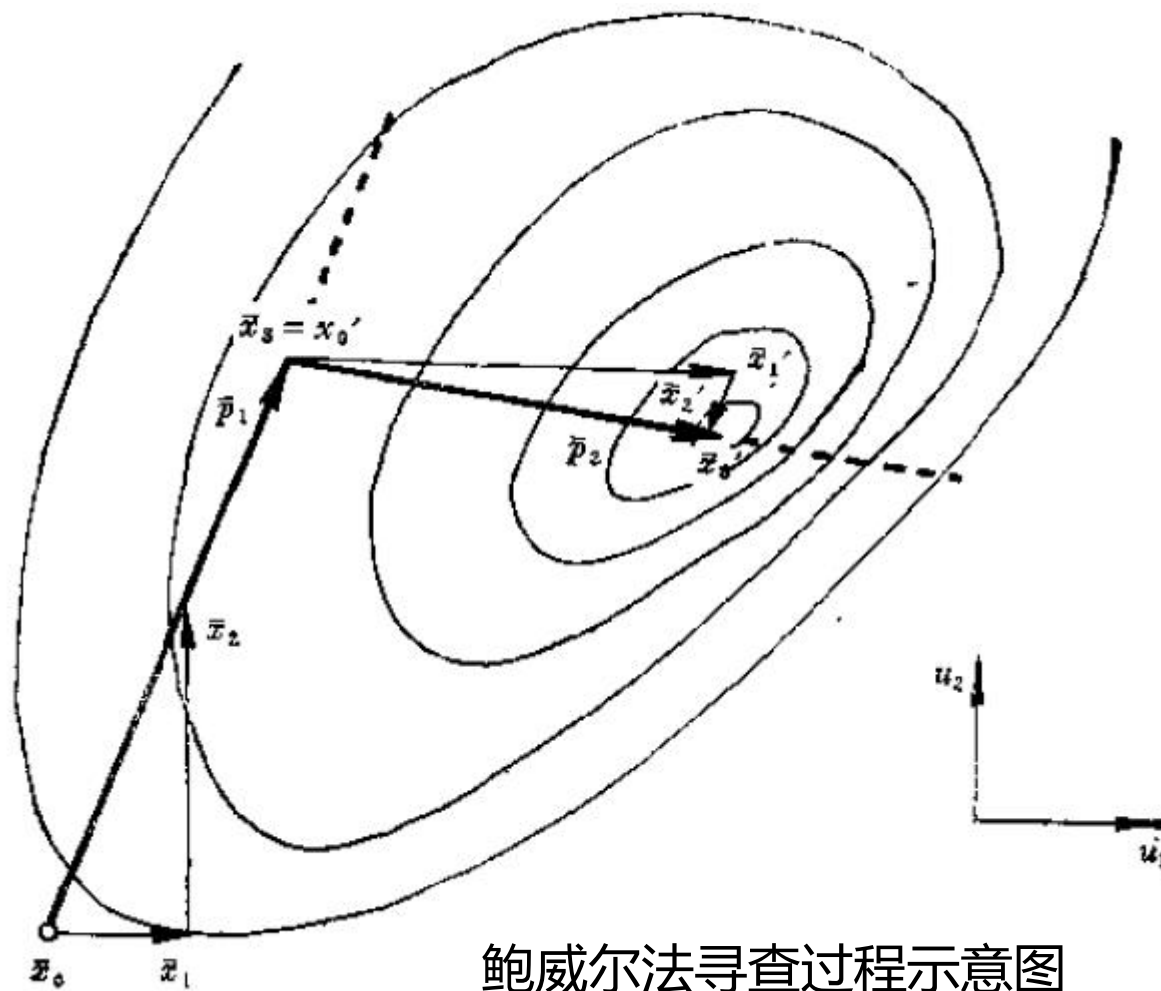
- 鲍威尔法：利用近似共轭梯度方向进行巡查，可以快速收敛；
- 二元函数极值点附近等值线看成椭圆；
- 在平行寻查方向 $\mathbf{p}_1, \mathbf{p}_2$ 得两极小点 $\mathbf{x}_1, \mathbf{x}_2$ ；
- 连接两点 $\mathbf{x}_1, \mathbf{x}_2$ 直线将通过函数极小点；
- 数学证明方向 $\mathbf{p}_1, \mathbf{p}_2$ 相当于汉森共轭；

$$\mathbf{p}_1^T \mathbf{A} \mathbf{p}_2 = 0 \quad (4.60)$$

- 当函数等值线不是椭圆，近似共轭；
- 下图为鲍威尔法寻查过程几何说明：



第四章 射频电路优化设计(38)



第四章 射频电路优化设计(39)

- 第一步：坐标轮换一维寻查，初始点 $\mathbf{x}_0(u_1, u_2)$ ；
从 \mathbf{x}_0 先沿 u_1 寻查找到极小点 \mathbf{x}_1 ，再沿 u_2 找到极小点 \mathbf{x}_2 ；
连接 $\mathbf{x}_0, \mathbf{x}_2$ 得寻查方向 $\mathbf{p}_1 = \mathbf{x}_2 - \mathbf{x}_0$ ，找到极小点 \mathbf{x}_3 ；
第一次循环结束；
- 第二步：更换寻查方向；
找出 $[\Phi(\mathbf{x}_0) - \Phi(\mathbf{x}_1)], [\Phi(\mathbf{x}_0) - \Phi(\mathbf{x}_2)]$ 较大者舍弃不用如图中 u_2 方向；
从 $\mathbf{x}_0' = \mathbf{x}_3$ 出发沿 u_1 方向寻查找到极小点 \mathbf{x}_1' ；
再沿 \mathbf{p}_1 方向找到极小点 \mathbf{x}_2' ； $\mathbf{p}_2 = \mathbf{x}_2' - \mathbf{x}_1'$ 就是 \mathbf{p}_1 的共轭方向；
沿 \mathbf{p}_2 方向找到极小点 \mathbf{x}_3' ；第二次寻查循环结束；两次循环基本接近极小点

第四章 射频电路优化设计(40)

第七节 带约束条件的优化法

- 以上介绍的方法没有对优化变量附加约束条件：无约束最优化；
- 实际优化变量需要附加一定的约束条件：带约束最优化；
- 约束条件可用函数不等式表示：

$$y_i(\mathbf{x}) \geq 0 \quad i = 1, 2, \dots, m \quad \text{约束条件个数} \quad (4.61)$$

- 给定约束条件与无约束条件其优化结果差别往往很大；
- 解决的办法是将有约束条件转化为无约束条件；

第四章 射频电路优化设计(41)

一. 变量置换法

- 变量置换法种类很多，但基本上是把约束条件转化为三角函数；

1. 约束条件为有界不等式

$$x_{iL} \leq x_i \leq x_{iH} \quad i = 1, 2, \dots, m \quad (4.62)$$

变量转换式一：

$$x_i = x_{iL} + (x_{iH} - x_{iL}) \sin^2 y_i \quad i = 1, 2, \dots, m \quad (4.63)$$

变量转换式二：

$$x_i = \frac{(x_{iL} + x_{iH})}{2} + \frac{(x_{iH} - x_{iL})}{2} \sin^2 y_i \quad i = 1, 2, \dots, m \quad (4.64)$$

新变量变化范围： $-\infty < y_i < \infty \quad -1 \leq \sin y_i \leq 1$

第四章 射频电路优化设计(42)

2. 约束条件为无界不等式

$$x_{iL} < x_i < x_{iH} \quad i = 1, 2, \dots, m \quad (4.65)$$

变量转换式：

$$x_i = x_{iL} + \frac{1}{\pi} (x_{iH} - x_{iL}) \cot^{-1} y_i \quad i = 1, 2, \dots, m \quad (4.66)$$

新变量变化范围： $-\infty < y_i < \infty \quad 0 < \cot^{-1} y_i < \pi$

3. 约束条件为比值不等式

$$\lambda_L < x_2 / x_1 < \lambda_H \quad x_1 > 0 \quad x_2 > 0 \quad (4.67)$$

变量转换式：

$$\begin{aligned} x_1 &= e^{y_1} c \cos \left[\theta_l + (\theta_H - \theta_l) \sin^2 y_2 \right] \\ x_2 &= e^{y_1} \sin \left[\theta_l + (\theta_H - \theta_l) \sin^2 y_2 \right] \end{aligned} \quad (4.68)$$

第四章 射频电路优化设计(43)

$$\text{其中：} \begin{cases} \theta_l = \tan^{-1}(\lambda_l) \\ \theta_H = \tan^{-1}(\lambda_H) \end{cases} \quad 0 < \theta_l < \theta_H < \pi/2 \quad (4.69)$$

二. 罚函数法

- 将约束条件作为附加函数(罚函数)加入目标函数进行优化计算；

1. 等式约束罚函数 $y_i(\mathbf{x}) = 0 \quad i = 1, 2, \dots, m$

- 目标函数改造为：

$$p(\mathbf{x}, \mathbf{W}) = \phi(\mathbf{x}) + \sum_{i=1}^m W_i y_i^2(\mathbf{x}) \quad (4.70)$$

2. 不等式约束罚函数 $y_i(\mathbf{x}) \geq 0 \quad i = 1, 2, \dots, m$

第四章 射频电路优化设计(44)

- 目标函数改造为：罚项系数

$$p(\mathbf{x}, M_k) = \phi(\mathbf{x}) + M_k \sum_{i=1}^m \left[y_i(\mathbf{x}) - |y_i(\mathbf{x})| \right]^2 / 4 \quad (4.71)$$

其中：

$$\left[y_i(\mathbf{x}) - |y_i(\mathbf{x})| \right]^2 / 4 = \begin{cases} y_i(\mathbf{x}) & y_i(\mathbf{x}) < 0 \\ 0 & y_i(\mathbf{x}) \geq 0 \end{cases} \quad (4.72)$$

满足约束条件罚函数为0

罚项系数规律： $0 < M_1 < M_2 < M_3 \cdots < M_k$

$$\lim_{k \rightarrow \infty} M_k = \infty$$

3. 梯度优化法的罚函数(略)